

Рис. 5.

Возможности пакета «Mathematica» не ограничиваются рассмотренными примерами, для вывода на экран изображений различных решеток и структур можно, например, использовать подпакет **MolecularGraphics**, в котором рисование химических связей между атомами облегчено наличием специальной процедуры, требуется только задать координаты узлов кристаллической решетки, и ближайшие атомы будут

УДК 531.1

*Прокопеня А.Н.*

## ОБ УСТОЙЧИВОСТИ РАВНОВЕСНЫХ РЕШЕНИЙ ОГРАНИЧЕННОЙ ЗАДАЧИ ЧЕТЫРЕХ ТЕЛ

### ВВЕДЕНИЕ

Основная задача динамики состоит в том, чтобы исследовать всю совокупность возможных движений заданной динамической системы. Для системы тел, движущихся под действием их взаимного гравитационного притяжения, соответствующая задача решена только в случае двух тел. Несмотря на то, что известны десять интегралов движения системы, в случае трех и более тел уравнения движения не могут быть проинтегрированы. Поэтому представляет большой интерес поиск и исследование их частных решений. Наибольшие результаты в этой области достигнуты при решении задачи трех тел и ее упрощенного варианта – ограниченной задачи трех тел [1]. Пять частных решений этой задачи были найдены еще в XVIII веке Л.Эйлером и Ж.Лагранжем. Однако анализ устойчивости треугольных лагранжевых решений оказался очень трудной задачей. К настоящему времени полностью исследована устойчивость этих решений в плоской круговой ограниченной задаче трех тел, подробно рассмотрена их устойчивость в пространственной круговой задаче, а также в плоской и пространственной эллиптических задачах [2]. При этом были разработаны новые качественные, аналитические и численные методы исследования нелинейных гамильтоновых систем, которые могут использоваться при решении многих других задач механики и математики [3]. Тем не менее, тео-

соединены прямыми линиями. Для повышения наглядности обучения можно комбинировать различные подходы к визуализации кристаллических решеток при изучении дисциплины «Физика твердого тела».

Опыт проведения занятий по курсу «Физика твердого тела» в компьютерном классе показывает, что даже несколько простых примеров строения кристаллических решеток на экране, которые можно повернуть в любую сторону с помощью мыши в реальном времени, значительно улучшают восприятие лекционного материала. Таким образом, визуализация кристаллических решеток способствует формированию у студентов современных представлений о твердых телах и о связи особенностей их структуры с различными физическими свойствами.

Данная работа выполнена в рамках исследовательского проекта «Моделирование и решение прикладных задач по курсу «Физика твердого тела» в компьютерной алгебре «Mathematica» по сотрудничеству между Брестским государственным техническим университетом и Fachhochschule Ravensburg-Weingarten.

### СПИСОК ИСПОЛЬЗОВАННЫХ ИСТОЧНИКОВ

1. Wolfram S. The Mathematica book. 4 th ed. Addison-Wesley, 1999.
2. Блейкмор Дж. Физика твердого тела. М.: Мир, 1988.- 608 с.
3. Дьяконов В. Mathematica 4: учебный курс – СПб: Питер, 2001.- 656 с.

рия устойчивости гамильтоновых систем еще до конца не разработана, и исследования в этой области продолжают оставаться весьма актуальными.

В работах [4-6] было доказано, что существует новый класс точных частных решений плоской ньютоновой задачи многих тел. Это позволило предложить две новые динамические модели, которые известны как ньютоновы ограниченные проблемы  $(n+2)$ -тел [7, 8]. Теперь в рамках этих моделей необходимо найти все равновесные решения уравнений движения и исследовать их устойчивость. Поскольку в общем случае эта проблема очень сложная, в качестве первого шага рассмотрим случай четырех взаимодействующих тел. В данной работе исследуется движение частицы пренебрежимо малой массы в гравитационном поле, генерируемом тремя телами. Их движение определяется соответствующим решением задачи трех тел [6]. Получены уравнения движения частицы в фазовом пространстве Нехвила, найдены их равновесные решения, и исследована их устойчивость в линейном приближении. Все расчеты и визуализация полученных результатов производятся с помощью системы Mathematica, которая существенно увеличивает наши возможности при выполнении символьных и численных вычислений [9].

*Прокопеня Александр Николаевич. К. физ.-мат. н., доцент каф. физики Брестского государственного технического университета.*

*Беларусь, БГТУ, 224017, г. Брест, ул. Московская, 267.*

**РАВНОВЕСНЫЕ РЕШЕНИЯ УРАВНЕНИЙ ДВИЖЕНИЯ**

Пусть две точечные частицы  $P_1$  и  $P_2$  одинаковой массы  $m$  движутся по эллиптическим орбитам вокруг их общего центра масс, в котором покоится третья частица  $P_0$  массой  $m_0$ , под действием взаимного ньютоновского притяжения. При этом частицы  $P_1$  и  $P_2$  в каждый момент времени располагаются симметрично относительно частицы  $P_0$ , а их орбиты находятся в плоскости  $xOy$  инерциальной барицентрической системы координат. Используя цилиндрические координаты, соответствующее частное решение задачи трех тел можно записать в виде [6]:

$$\begin{aligned} \rho_j(v) &= \frac{p}{1 + e \cos v}, \quad \varphi_j(t) = v(t) + \pi j, \\ z_j(t) &= 0, \quad (j = 1, 2) \end{aligned} \quad (1)$$

причем функции  $\rho_j(t)$  и  $v(t)$  связаны соотношением:

$$\rho_j^2 \frac{dv}{dt} = \sqrt{fp(m_0 + m/4)} \equiv c, \quad (2)$$

где  $f$  – гравитационная постоянная, а  $p$  и  $e$  – параметр и эксцентриситет орбиты. Рассмотрим движение четвертой точечной частицы  $P_3$  пренебрежимо малой массы  $m_i$  в гравитационном поле частиц  $P_0$ ,  $P_1$  и  $P_2$ . Обозначив ее цилиндрические координаты через  $\rho$ ,  $\varphi$ ,  $z$ , запишем функцию Лагранжа системы в виде:

$$\begin{aligned} L &= \frac{m_1}{2} \left( \left( \frac{d\rho}{dt} \right)^2 + \rho^2 \left( \frac{d\varphi}{dt} \right)^2 + \left( \frac{dz}{dt} \right)^2 \right) + \\ &+ f \frac{m_1 m_0}{r} + f \frac{m_1 m}{r_1} + f \frac{m_1 m}{r_2} \end{aligned} \quad (3)$$

где  $r$  – расстояние между частицами  $P_0$  и  $P_3$ , а  $r_j$  – расстояния между частицами  $P_j$  и  $P_3$  ( $j = 1, 2$ ), которые определяются следующими соотношениями:

$$r^2 = \rho^2 + z^2, \quad r_j^2 = \rho^2 + \rho_j^2 - 2\rho\rho_j \cos(\varphi - \varphi_j) + z^2 \quad (j = 1, 2).$$

Используя функцию Лагранжа (3), запишем дифференциальные уравнения движения частицы  $P_3$  в виде:

$$\begin{aligned} \frac{d^2\rho}{dt^2} - \rho \left( \frac{d\varphi}{dt} \right)^2 + fm_0 \frac{\rho}{r^3} + fm \frac{\rho - \rho_1 \cos(\varphi - \varphi_1)}{r_1^3} + \\ + fm \frac{\rho - \rho_2 \cos(\varphi - \varphi_2)}{r_2^3} = 0, \\ \rho \frac{d^2\varphi}{dt^2} + 2 \frac{d\rho}{dt} \frac{d\varphi}{dt} + fm \frac{\rho_1 \sin(\varphi - \varphi_1)}{r_1^3} + \\ + fm \frac{\rho_2 \sin(\varphi - \varphi_2)}{r_2^3} = 0 \\ \frac{d^2z}{dt^2} + fm_0 \frac{z}{r^3} + fm \frac{z}{r_1^3} + fm \frac{z}{r_2^3} = 0. \end{aligned} \quad (4)$$

Учитывая соотношения (1), (2), перейдем в уравнениях (4) к конфигурационному пространству Нехвила, используя следующую подстановку [1]:

$$\begin{aligned} \rho_j(t) &\rightarrow \frac{p}{1 + e \cos v}, \quad \rho(t) \rightarrow \frac{p}{1 + e \cos v} \rho(v), \\ z(t) &\rightarrow \frac{p}{1 + e \cos v} z(v), \quad \varphi(t) \rightarrow v + \varphi(v), \end{aligned}$$

и будем использовать полярный угол  $v$ , характеризующий положение частиц  $P_1$  и  $P_2$  на плоскости  $xOy$ , в качестве новой независимой переменной. Фактически такая подстановка означает переход в систему координат, вращающуюся вокруг оси  $Oz$  с переменной угловой скоростью, в которой расстояния между любыми двумя точками периодически пульсируют так, что частицы  $P_1$  и  $P_2$  покоятся на оси  $Ox$  в точках  $x = -1$  и  $x = 1$  соответственно. Производные координат частицы  $P_3$  примут вид:

$$\begin{aligned} \frac{d\rho}{dt} &\rightarrow \frac{c}{p} \left( (1 + e \cos v) \frac{d\rho}{dv} + e \sin v \cdot \rho \right), \\ \frac{d\varphi}{dt} &\rightarrow \frac{c}{p^2} (1 + e \cos v)^2 \left( 1 + \frac{d\varphi}{dv} \right), \\ \frac{d^2\rho}{dt^2} &\rightarrow \frac{c^2}{p^3} (1 + e \cos v)^2 \left( (1 + e \cos v) \frac{d^2\rho}{dv^2} + e \cos v \cdot \rho \right), \\ \frac{d^2\varphi}{dt^2} &\rightarrow \frac{c^2}{p^4} (1 + e \cos v)^3 \times \\ &\times \left( (1 + e \cos v) \frac{d^2\varphi}{dv^2} - 2e \sin v \frac{d\varphi}{dv} - 2e \sin v \right). \end{aligned}$$

Очевидно, производные координаты  $z$  выглядят аналогично производным координаты  $\rho$ . В результате уравнения движения (4) примут вид:

$$\begin{aligned} \frac{d^2\rho}{dv^2} - \rho \left( \frac{d\varphi}{dv} + 1 \right)^2 + \frac{e \cos v}{1 + e \cos v} \rho = \\ = - \frac{fp}{c^2 (1 + e \cos v)} \times \\ \times \left( \frac{m_0 \rho}{(\rho^2 + z^2)^{3/2}} + \frac{m(\rho + \cos \varphi)}{r_1^3} + \frac{m(\rho - \cos \varphi)}{r_2^3} \right), \\ \rho \frac{d^2\varphi}{dv^2} + 2 \frac{d\rho}{dv} \left( \frac{d\varphi}{dv} + 1 \right) = \frac{fpm \cdot \sin \varphi}{c^2 (1 + e \cos v)} \left( \frac{1}{r_1^3} - \frac{1}{r_2^3} \right), \\ \frac{d^2z}{dv^2} + \frac{e \cos v}{1 + e \cos v} z = \\ = - \frac{fpz}{c^2 (1 + e \cos v)} \left( \frac{m_0}{(\rho^2 + z^2)^{3/2}} + \frac{m}{r_1^3} + \frac{m}{r_2^3} \right), \end{aligned} \quad (5)$$

где

$$\begin{aligned} r_1 &= (\rho^2 + 1 + 2\rho \cos \varphi + z^2)^{1/2}, \\ r_2 &= (\rho^2 + 1 - 2\rho \cos \varphi + z^2)^{1/2} \end{aligned}$$

Равновесное решение системы (5) определяется из условия, что координаты  $\rho$ ,  $\varphi$ ,  $z$  являются постоянными. Полагая в (5) все производные равными нулю, из второго и третьего уравнений находим, что равновесное решение возможно тогда и только тогда, когда

$$\varphi = 0, \frac{\pi}{2}, \pi, \frac{3\pi}{2}; z = 0.$$

При  $\varphi = 0, \pi$  равновесные положения частицы  $P_3$  находятся на прямой  $P_1P_2$  и по терминологии работы [8] называются радиальными равновесными решениями. При  $\varphi = \frac{\pi}{2}, \frac{3\pi}{2}$  равновесные положения находятся на прямой, перпендикулярной  $P_1P_2$ , и называются биссекториальными равновесными решениями. Подставляя в первое уравнение (5) решения  $\rho = R = const, \varphi = 0, \pi$  и  $z = 0$ , получаем уравнение для определения радиальных равновесных положений:

$$m_0 \left( R - \frac{1}{R^2} \right) + \frac{1}{4} mR - m \left( \frac{R-1}{|R-1|^3} + \frac{R+1}{|R+1|^3} \right) = 0. \quad (6)$$

Соответствующее уравнение для биссекториальных равновесных решений имеет вид:

$$m_0 \left( R - \frac{1}{R^2} \right) + \frac{1}{4} mR - \frac{2mR}{(R^2 + 1)^{3/2}} = 0. \quad (7)$$

Легко видеть, что при  $m_0 = 0$  уравнения (6), (7) совпадают с соответствующими уравнениями, определяющими положение точек либрации в ограниченной задаче трех тел [1,2]. При этом существуют три радиальных равновесных решения, одно из которых есть  $R = 0$ , а два других находятся на расстоянии  $R > 1$  симметрично относительно начала координат, где  $R$  является корнем уравнения

$$\frac{R}{8} = \frac{R^2 + 1}{(R^2 - 1)^2}.$$

Существует также два биссекториальных равновесных решения, расположенных симметрично относительно начала координат на расстоянии  $R = \sqrt{3}$ , которые соответствуют известным треугольным лагранжевым решениям. Поскольку все эти решения неустойчивы в смысле Ляпунова [1,2], далее мы рассмотрим случай  $m_0 \neq 0$ . Анализ уравнения (6) показывает, что в области  $0 \leq R < 1$  оно принимает вид:

$$m_0 \left( R - \frac{1}{R^2} \right) + \frac{1}{4} mR + \frac{4mR}{(1 - R^2)^2} = 0 \quad (8)$$

и имеет один корень. При  $R > 1$  уравнение (6) можно переписать в виде:

$$m_0 \left( R - \frac{1}{R^2} \right) + \frac{1}{4} mR - \frac{2m(R^2 + 1)}{(R^2 - 1)^2} = 0. \quad (9)$$

Это уравнение также имеет один корень. Следует отметить, что в случае  $m_0 \gg m$  корни уравнений (8), (9) стремятся к одному и тому же значению  $R = 1$ . Уравнение (7) имеет только один корень, причем с увеличением массы центрального тела  $m_0$  от нуля до бесконечности его величина уменьшается от  $R = \sqrt{3}$  до  $R = 1$ . Таким образом, при  $m_0 \neq 0$  ограниченная задача четырех тел имеет шесть равновесных решений в пространстве Нехвила: четыре радиальных (точки  $N_1, N_2, N_3, N_4$  на рис. 1) и два биссекториальных (точки  $S_1, S_2$ ). Они образуют три пары симметричных относительно центральной частицы  $P_0$  решений, которые определяются как положительные действительные корни уравнений (7)-(9).

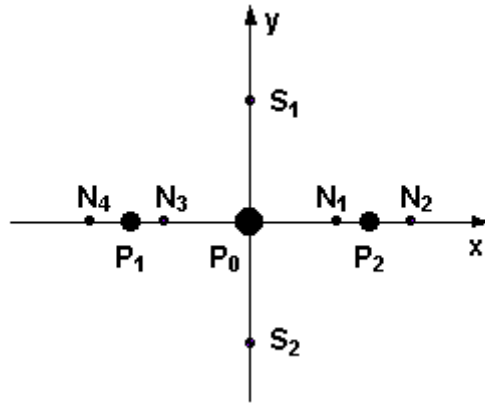


Рис. 1.

### АНАЛИЗ УСТОЙЧИВОСТИ РАВНОВЕСНЫХ РЕШЕНИЙ

Проблема устойчивости найденных равновесных решений связана с исследованием нелинейных дифференциальных уравнений возмущенного движения. Ее решение обычно начинается с анализа соответствующей системы уравнений первого приближения. Чтобы исследовать уравнения движения (5) в окрестности радиальных и биссекториальных решений, сделаем в (5) следующую подстановку:

$$\rho(\mathbf{v}) \rightarrow R + u(\mathbf{v}), \varphi(\mathbf{v}) \rightarrow \beta + \gamma(\mathbf{v}),$$

где  $R$  является корнем одного из уравнений (7)-(9), а  $\beta$  равняется нулю или  $\pi/2$ . Рассматривая функции  $u(\mathbf{v}), \gamma(\mathbf{v}), z(\mathbf{v})$  в качестве малых возмущений равновесных решений, разложим уравнения (5) по степеням  $u, \gamma, z$  с точностью до первого порядка. В результате уравнения возмущенного движения, линеаризованные в окрестности радиальных равновесных решений  $N_1$  и  $N_2$ , запишем в виде:

$$\begin{aligned} \frac{d^2 u}{dv^2} - 2R \frac{d\gamma}{dv} &= \frac{3 + 2a_j}{1 + e \cos v} u, \\ \frac{d^2 \gamma}{dv^2} + \frac{2}{R} \frac{du}{dv} &= - \frac{a_j}{1 + e \cos v} \gamma, \\ \frac{d^2 z}{dv^2} + \frac{1 + a_j + e \cos v}{1 + e \cos v} z &= 0, \end{aligned} \quad (10)$$

где

$$a_1 = \frac{8(R^2 + 3)}{(1 + 4\mu)(1 - R^2)^3}, a_2 = \frac{8(3R^2 + 1)}{(1 + 4\mu)R(R^2 - 1)^3}, \mu = \frac{m_0}{m}$$

Соответствующая системы уравнений, линеаризованная в окрестности биссекториальных решений  $S_1$  и  $S_2$ , примет вид:

$$\begin{aligned} \frac{d^2 u}{dv^2} - 2R \frac{d\gamma}{dv} &= \frac{3 - b}{1 + e \cos v} u, \\ \frac{d^2 \gamma}{dv^2} + \frac{2}{R} \frac{du}{dv} &= \frac{b}{1 + e \cos v} \gamma, \\ \frac{d^2 z}{dv^2} + z &= 0, \end{aligned} \quad (11)$$

где

$$b = \frac{24}{(1 + 4\mu)(1 + R^2)^{5/2}}.$$

Поскольку параметры  $R$  и  $\mu$  связаны между собой условиями (7)-(9), постоянные  $a_1$ ,  $a_2$  и  $b$  в (10), (11) зависят только от одного параметра.

Системы (10), (11) представляют собой системы трех линейных дифференциальных уравнений второго порядка с периодическими коэффициентами. Очевидно, в области  $|e| < 1$  коэффициенты этих уравнений являются аналитическими функциями относительно параметра  $e$ . Следовательно, поведение их решений определяется значениями характеристических показателей систем при  $e = 0$ . Если при  $e = 0$  система имеет хотя бы один характеристический показатель с положительной вещественной частью, то она является неустойчивой при малых значениях  $e$ , отличных от нуля. Неустойчивой будет система и в том случае, когда она имеет чисто мнимые характеристические показатели, но некоторые из них являются кратными. Если же все ее характеристические показатели являются различными и чисто мнимыми, то неустойчивости в системе могут возникнуть только в условиях резонанса, когда ее характеристические показатели  $\lambda_k$  удовлетворяют соотношению:

$$\lambda_k \pm \lambda_l = iN \quad (k, l = 1, 2, 3, 4; N = 0, \pm 1, \pm 2, \dots) \quad (12)$$

Легко видеть, что в системах (10), (11) третье уравнение является независимым от первых двух. Это означает, что в линейном приближении возмущенные движения частицы в плоскости орбит  $xOy$  и в перпендикулярном направлении являются независимыми и их можно рассматривать отдельно. Третье уравнение системы (10) является уравнением Хилла и при  $e = 0$  имеет два чисто мнимых характеристических показателя, равных  $\pm i\sqrt{1+a_j}$ , так как  $a_j > 0$  при всех значениях  $\mu$ . Уравнение такого типа подробно исследовано в работе [10], где показано, что при  $e > 0$  вблизи точек

$$a_j = \frac{(2k-1)^2}{4} - 1 \quad (k = 1, 2, \dots) \quad \text{на плоскости } a_j Oe$$

существуют узкие области неустойчивости этого уравнения. Используя эти результаты и соотношения (8), (9), границы соответствующих областей неустойчивости третьего уравнения системы (10) можно найти в виде рядов по степеням малого параметра  $e$ . Оказывается, для бисекториальных решений  $N_1$  и  $N_3$  есть только три значения параметра  $\mu$ , в окрестности которых на плоскости  $\mu Oe$  существуют области неустойчивости:  $\mu_1 = 0.216398$ ,  $\mu_2 = 1.21553$ ,  $\mu_3 = 18.2375$ , причем ширины этих областей очень малы. Действительно, уравнения границ области неустойчивости, примыкающей к точке  $\mu_3$ , имеют вид:

$$\mu_3 = 18.2375 + 37.1814e^2 + 67.311e^4 \pm 0.00454e^5.$$

При этом ширина области неустойчивости составляет  $0.00908e^5$ . Для точек  $\mu_1$  и  $\mu_2$  она еще меньше. Для бисекториальных решений  $N_2$  и  $N_4$  область неустойчивости существует только в окрестности точки  $\mu = 2.30235$  и ограничена кривыми

$$\mu = 2.30235 - 4.23183e^2 \mp 0.176326e^3 + 2.44335e^4 \pm 0.200685e^5.$$

Характеристические показатели первых двух уравнений системы (10) при  $e = 0$  легко вычисляются и могут быть записаны в виде:

$$\lambda_k = \pm \frac{1}{\sqrt{2}} \left( -1 + a_j \pm \sqrt{1 + 10a_j + 9a_j^2} \right)^{1/2}, \quad (13)$$

$$(k = 1, 2, 3, 4)$$

Численный анализ значений  $\lambda_k$  для коэффициентов  $a_1$  и  $a_2$  с учетом соотношений (8), (9) показал, что один из характеристических показателей (13) является действительным положительным числом при любых значениях параметра  $\mu$  из интервала  $0 \leq \mu < \infty$ . Следовательно, согласно теореме Ляпунова об устойчивости по первому приближению [2], радиальные равновесные решения ограниченной задачи четырех тел являются неустойчивыми.

Третье уравнение системы (11) имеет два чисто мнимых характеристических показателя, равных  $\pm i$  при любом значении  $e$ . Характеристические показатели первых двух уравнений этой системы при  $e = 0$  имеют вид:

$$\lambda_k = \pm \frac{1}{\sqrt{2}} \left( -1 \pm \sqrt{1 - 12b + 4b^2} \right)^{1/2}, \quad (14)$$

$$(k = 1, 2, 3, 4)$$

Если выполнено условие

$$0 < 1 - 12b + 4b^2 < 1, \quad (15)$$

то характеристические показатели (14) будут различными и чисто мнимыми:  $\lambda_k = \pm i\sigma_{1,2}$ ,

где  $\sigma_{1,2} = \frac{1}{\sqrt{2}} \left( 1 \pm \sqrt{1 - 12b + 4b^2} \right)^{1/2}$ . Численный анализ

показал, что значения выражения  $1 - 12b + 4b^2$  всегда меньше единицы. При  $\mu = 11.7203$  оно обращается в ноль и система (11) будет иметь две пары кратных характеристических показателей, равных  $\pm i/\sqrt{2}$ . В этом случае даже при  $e = 0$  система (11) будет неустойчивой, так как ее решение будет содержать линейно растущие члены вида  $v \cos \frac{v}{\sqrt{2}}$  и

$v \sin \frac{v}{\sqrt{2}}$ . Неравенство (15) выполняется при

$11.7203 < \mu < \infty$ , причем параметры  $\sigma_1$  и  $\sigma_2$  изменяются в пределах:

$$\frac{1}{\sqrt{2}} < \sigma_1 < 1, \quad 0 < \sigma_2 < \frac{1}{\sqrt{2}}.$$

Поэтому резонансное соотношение (12) в системе может выполняться только в одном случае:  $\lambda_k = i/2$ ,  $\lambda_l = -i/2$ ,

$N = 1$ , когда  $\sigma_2 = 1/2$  и  $\mu = \mu_R = 15.9691$ . При  $e > 0$

в окрестности резонансного значения параметра  $\mu_R$  может существовать область неустойчивости. Чтобы найти границы этой области, необходимо вычислить фундаментальную матрицу системы (11). Для этого используем метод малого параметра Ляпунова-Пуанкаре.

Первые два уравнения системы (11) легко представить в виде системы четырех уравнений первого порядка:

$$\frac{dx}{dv} = P(v, e)x. \quad (16)$$

Здесь  $x$  – вектор с четырьмя компонентами, а  $P(v, e)$  – матрица четвертого порядка, которая может быть представлена в виде:

$$P(\nu, e) = P_0 + \sum_{k=1}^{\infty} P_k(\nu) e^k, \quad (17)$$

где

$$P_0 = \begin{pmatrix} 0 & 0 & 1 & 0 \\ -\frac{2}{R} & 0 & 0 & \frac{1}{R^2} \\ -(1+b) & 0 & 0 & \frac{2}{R^2} \\ 0 & bR^2 & 0 & 0 \end{pmatrix},$$

$$P_k(\nu) = (-\cos \nu)^k \begin{pmatrix} 0 & 0 & 0 & 0 \\ 0 & 0 & 0 & 0 \\ 3-b & 0 & 0 & 0 \\ 0 & bR^2 & 0 & 0 \end{pmatrix}$$

Ряд (17) сходится при всех  $\nu$  в области  $e < 1$ , а  $P_k(\nu)$  – непрерывные ограниченные матрицы.

Согласно теореме Ляпунова [11], фундаментальная матрица решений  $X(\nu, e)$  системы (16), нормированная условием  $X(0) = E_4$ , где  $E_4$  – единичная матрица четвертого порядка, представима в виде:

$$X(\nu, e) = \exp(P_0 \nu) Z(\nu, e) \exp(\nu W(e)), \quad (18)$$

где  $Z(\nu, e) = Z(\nu + 2\pi, e)$  – периодическая аналитическая матрица-функция, а  $W(e)$  – постоянная матрица, причем справедливы представления

$$Z(\nu, e) = \sum_{k=0}^{\infty} Z_k(\nu) e^k, \quad Z_0(0) = E_4,$$

$$Z_k(0) = 0 \quad (k \geq 1), \quad (19)$$

$$W(e) = \sum_{k=1}^{\infty} W_k e^k. \quad (20)$$

Ряды (19), (20) сходятся при  $e < 1$  для любого  $\nu$ , а  $Z_k(\nu)$  – непрерывные матрицы, которые могут быть найдены из рекуррентного соотношения:

$$\frac{dZ_k(\nu)}{d\nu} = \sum_{l=1}^k (\exp(-P_0 \nu) P_l(\nu) \exp(P_0 \nu) Z_{k-l}(\nu) - Z_{k-l}(\nu) W_l)$$

Матрицы  $W_k$  находятся из условия периодичности матриц  $Z_k(\nu)$ . Действительно, в первом порядке уравнение (21) имеет вид:

$$\frac{dZ_1(\nu)}{d\nu} = (\exp(-P_0 \nu) P_1(\nu) \exp(P_0 \nu) - W_1). \quad (22)$$

Учитывая начальные условия (19), решение уравнения (22) можно представить в виде:

$$Z_1(\nu) = -W_1 \nu + \int_0^{\nu} (\exp(-P_0 \tau) P_1(\tau) \exp(P_0 \tau)) d\tau.$$

Используя условие периодичности матриц  $Z_k(\nu)$ , получаем:

$$W_1 = \frac{1}{2\pi} \int_0^{2\pi} (\exp(-P_0 \tau) P_1(\tau) \exp(P_0 \tau)) d\tau.$$

Вычисления в следующих порядках по  $e$  выполняются аналогично, причем с ростом  $k$  они становятся все более громоздкими и не могут быть выполнены без компьютера. Вычисляя фундаментальную матрицу  $X(\nu, e)$  с точностью до второго порядка по  $e$  в окрестности резонансной точки  $\mu_R = 15.9691$ , получим характеристическое уравнение для системы (16) в виде:

$$\rho^4 + (\rho^3 + \rho)(2 - 2\cos(\sqrt{3}\pi) - \frac{4}{\sqrt{3}} e\pi s_1 \sin(\sqrt{3}\pi) + \frac{e^2\pi}{144} (3\pi(99 + 64s_1^2(-3 + \cos(\sqrt{3}\pi))) + \sqrt{3}(45 - 256s_1^2 - 192s_2) \sin(\sqrt{3}\pi))) + \rho^2(2 - 4\cos(\sqrt{3}\pi) - \frac{8}{\sqrt{3}} e\pi s_1 \sin(\sqrt{3}\pi) + \frac{e^2\pi}{72} (3\pi(-99 + 256s_1^2) \cos(\sqrt{3}\pi) + \sqrt{3}(45 - 256s_1^2 - 192s_2) \sin(\sqrt{3}\pi))) + 1 = 0 \quad (23)$$

где  $s_1, s_2$  – постоянные, определяющие отклонение от резонансного характеристического показателя  $\sigma_2$  в соответствии

с соотношением:  $\sigma_2 = \frac{1}{2} + e s_1 + e^2 s_2$ . Анализ уравнения (23) показывает, что в окрестности характеристического показателя  $\sigma_2 = 1/2$  условие  $|\rho| \leq 1$  нарушается в области,

ограниченной прямыми  $\sigma_2 = \frac{1}{2} \pm \frac{\sqrt{33}}{8} e$ . Для параметра  $\mu$  соответствующее уравнение имеет вид:

$$\mu = 15.9691 \pm 32.5305e. \quad (24)$$

Таким образом, в линейном приближении биссекториальные равновесные решения являются устойчивыми при  $e = 0$ , если выполняется следующее условие:  $11.7203 < \mu < \infty$ .

При достаточно малых значениях эксцентриситета  $e$  вблизи значения  $\mu_R = 15.9691$  существует область неустойчивости этих решений, ограниченная прямыми (24).

### ЗАКЛЮЧЕНИЕ

В данной работе исследуется ограниченная проблема четырех тел, предложенная в работе [7]. В конфигурационном пространстве Нехвила получены уравнения движения частицы нулевой массы в гравитационном поле трех частиц, движущихся в соответствии с частным точным решением соответствующей задачи трех тел, найденным в [6]. Показано, что существует шесть равновесных решений уравнений движения: четыре радиальных решения и два биссекториальных. Поскольку уравнения, определяющие равновесные положения частицы, являются нелинейными, соответствующие решения могут быть найдены только численно. В линейном приближении проанализирована устойчивость найденных решений. Показано, что радиальные решения являются неустойчивыми при любом соотношении между массами частиц, а биссекториальные решения являются устойчивыми при  $e = 0$ , если  $11.7203 < \mu < \infty$ . Исследование характе-

ристического уравнения линеаризованной системы уравнений, описывающих возмущенное движение частицы в плоскости  $xOy$ , показало, что вблизи значения  $\mu_R = 15.9691$  на плоскости  $\mu - e$  существует область неустойчивости, которая при малых значениях параметра  $e$  ограничена прямыми (24). Все аналитические и численные вычисления выполнены с помощью системы компьютерной алгебры *Mathematica*.

Автор выражает глубокую признательность проф. Е.А.Гребеникову за полезное и интересное обсуждение рассматриваемой проблемы.

#### СПИСОК ИСПОЛЬЗОВАННЫХ ИСТОЧНИКОВ

1. В. Себехей. Теория орбит: ограниченная задача трех тел. – М.: Наука, 1982. – 656 с.
2. А.П.Маркеев. Точки либрации в небесной механике и космодинамике. – М.: Наука, 1978. – 312 с.
3. А.П.Маркеев. Устойчивость гамильтоновых систем // Нелинейная механика/ Под ред. В.М.Матросова, В.В.Румянцева, А.В.Карапетяна. – М.: Физматлит, 2001. – С.114-130.
4. L.M.Perko, E.L.Walter. Regular Polygon Solutions of the N-Body Problem. *Proc. American Math. Soc.*, 94, No 2 (1985), 301-309.
5. В.Elmbouts. Sur l'existence de certaines configurations d'equilibre relatif dans le probleme des N corps / *Celestial Mechanics*. – V. 41. – 1988. – 131-151.
6. Е.А.Гребеников. Существование точных симметричных решений в плоской ньютоновой проблеме многих тел // Математическое моделирование. – Т. 10, № 8. – 1998. – 74-80.
7. Е.А.Grebenikov. Two new dynamical models in celestial mechanics. *Romanian Astronomical Journal*, 8, No. 1 (1998), 13-19.
8. Е.А.Grebenikov, D.Kozak-Skoworodkin, M.Jakubiak. The methods of computer algebra in the many-body problem, Moscow, Ed. RUDN, 2002. – 210 С.
9. А.Н.Прокопеня, А.В.Чичурин. Использование системы *Mathematica* для решения обыкновенных дифференциальных уравнений. – Мн.: Изд-во БГУ, 1999. – 265 С.
10. А.Н.Prokopenya. Studying Stability of a Hill's Equation with Computer Algebra System *Mathematica* // Proc. 8th International Conf. on Applications of Computer Algebra (June 25-28, 2002, Volos, Greece). – Volos, University of Thessaly, 2002. – P.96-98.
11. Н.П. Еругин. Линейные системы обыкновенных дифференциальных уравнений с периодическими и квазипериодическими коэффициентами. – Мн.: Изд-во АН БССР, 1963. – 272 с.

УДК 621.315.592

**Русаков К.И., Паращук В.В.**

## ИЗЛУЧАТЕЛЬНЫЕ ПРОЦЕССЫ ПРИ НЕПОЛНОМ ЭЛЕКТРИЧЕСКОМ ПРОБОЕ В ДИЭЛЕКТРИКАХ И ЭЛЕКТРООПТИЧЕСКИХ КРИСТАЛЛАХ

В ряде наших предыдущих работ [1-8] теоретически обосновано взаимодействие электромагнитных волн видимого и микроволнового диапазонов в условиях стримерного разряда в гексагональных и кубических полупроводниках. Показано, что данное взаимодействие является одной из причин кристаллографической ориентации стримерных разрядов, вносит вклад в формирование их пороговых условий, обуславливает высокую скорость развития и некоторые другие свойства стримеров. Предсказана зависимость ориентации разрядов от размеров и формы кристалла в определенной области его толщин (размерный эффект), в том числе возможность образования неветвящихся одиночных разрядов в тонких стержневидных образцах, подтверждающаяся наблюдением на опыте неветвящихся разрядов в полупроводниках [1,2,9] и щелочно-галлоидных кристаллах [10] при близких условиях. В связи с этим представляет интерес анализ указанного процесса в кристаллах NaCl как типичном представителе ЩГК, а также в LiNbO<sub>3</sub> - модельной среде с ярко выраженным электрооптическим эффектом, определяющим механизм взаимодействия волн.

Экспериментальное обнаружение микроволнового излучения в канале стримеров осуществлялось на примере кристаллов сульфида кадмия, в которых свойства указанных разрядов изучены в наибольшей степени. Для этой цели использовались стандартные полупроводниковые СВЧ - приемники сантиметрового диапазона, на входе которых располагался сменный волновод рупорного типа, калиброванный на фиксиро-

ванные длины волн ( $\approx 1; 3; 10$  см и т. д.) [11]. На фоне помех (шума с широким спектром) был выделен полезный сигнал, характеризующийся следующими свойствами: спектр этого сигнала ограничен диапазоном  $\sim 10^2 \div 10$  см с максимумом в области  $\sim 1$  см; его интенсивность при возникновении разрядов в кристалле заметно возрастала. Данный результат подтверждает предположение о том, что формирование стримера происходит в условиях генерации мощного СВЧ излучения и его взаимодействия с рекомбинационным свечением электронно-дырочной плазмы в полупроводнике. Известно, что при стримерном пробое других твердых тел [12,13] также образуются интенсивные микроволны, позволяющие контролировать параметры разряда.

Рассмотрим по аналогии с [6-8] условия фазового синхронизма СВЧ волн и света в сильном электрическом поле сначала в NaCl. Кристаллы хлористого натрия являются центросимметричными средами, в которых отсутствует линейный электрооптический эффект, зато наблюдается отчетливо выраженный квадратичный электрооптический эффект [14,15], что предполагает возможность его учета при определении направлений фазового синхронизма по аналогии с описанной ранее методикой для случая сульфида кадмия. Вторая возможность заключается в том, что при наложении внешнего поля меняется (понижается) симметрия решетки, кристалл становится псевдоцентросимметричным и в этих условиях проявляется линейный эффект [14,16-20], что требует учета обоих факторов при некоторой неопределенности соответ-

**Русаков Константин Иванович.** К. физ.-мат. н., доцент каф. физики Брестского государственного технического университета.

Беларусь, БГТУ, 224017, г. Брест, ул. Московская, 267.

**Паращук Валентин Владимирович.** К. физ.-мат. н., ведущий научный сотрудник лаборатории оптики полупроводников ИФ НАНБ им. Б.И. Степанова.

Беларусь, 220072, г. Минск, пр. Ф. Скорины, 70.